

**“Gestione efficace dei dispositivi medici di
bassa tecnologia: validazione delle
temperature di esercizio nei disinfettori
termici e rischi collegati alle infezioni crociate
(batteriche, virali e sponginee)”**



Rischio Biologico

rischio per pazienti ed operatori di contrarre un'infezione nel corso di un evento assistenziale o nell'esecuzione di una procedura clinico-diagnostica

Le Infezioni Ospedaliere

sono quegli episodi in cui un paziente - ricoverato per altri motivi - contrae una o più specifiche infezioni collegate proprio al ricovero

1 paziente su 15 contrae infezioni durante il ricovero

Nella **gestione del rischio** l'attenzione si pone su:

- dimensioni del rischio
- complessità dei fattori determinanti
- trend epidemiologico

La procedura di valutazione del rischio costituisce la base per:

- Definire
- Individuare

le misure di sicurezza da mettere in atto in conformità al Testo Unico sulla Sicurezza nei Luoghi di Lavoro (d.lgs. 81/08)

Disinfettori Termici

Lo smaltimento
dei rifiuti umani può
determinare un
elevato rischio di
insorgenza di infezione a
causa di una
decontaminazione
inadeguata dei presidi
riutilizzabili



Le Norme di Riferimento

UNI EN ISO 15883-1:2014

Apparecchi di lavaggio e disinfezione - Parte 1: Requisiti generali, termini e definizioni e prove.

UNI EN ISO 15883-3:2009

Apparecchi di lavaggio e disinfezione - Parte 3: Requisiti e prove per apparecchi di lavaggio e disinfezione che utilizzano la disinfezione termica per i contenitori per deiezioni umane.

Le fasi del Processo

Pulizia / Decontaminazione

- Rimozione di sporco e/o sostanze pericolose

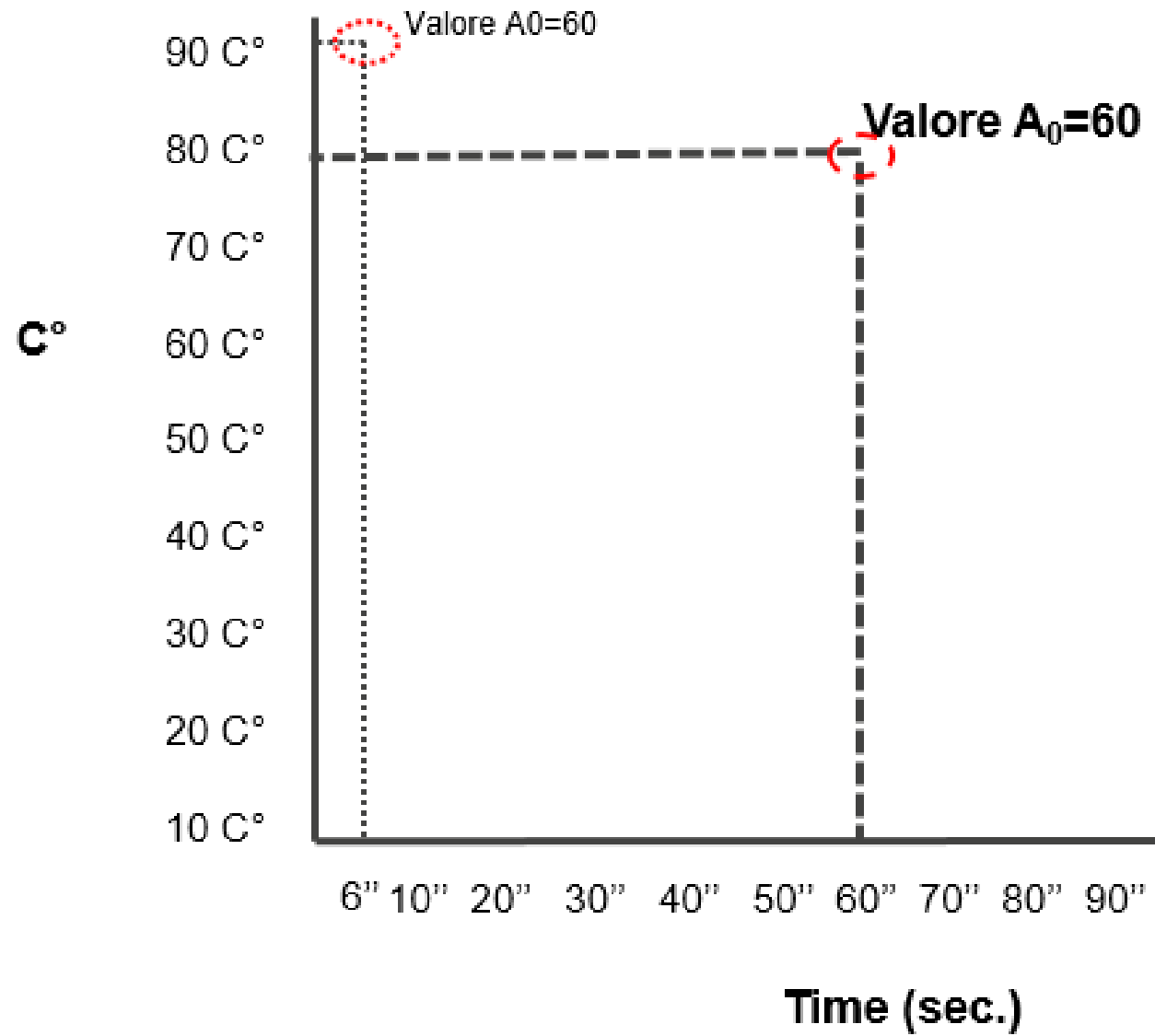
Risciacquo

- Rimozione di residui chimici, sporco organico e inorganico

Disinfezione termica

Durante questo processo non si puliscono le superfici sporche né si rimuovono i germi, ma si uccidono i germi presenti su una superficie pulita

A_0



Gestione Efficace dei Disinfettori Termini

- Controlli di manutenzioni programmate
- Verifiche elettriche
- Controlli di validazione delle temperature
 - Datalogger termico
 - 12 Termocoppie tarate
 - Registrazione temperature nella camera

VALIDAZIONE TEMPERATURE DI DISINFESTAZIONE arjo

CLIENTE: C.D.R. CIVIDALE DEL FRUJI MODELLO: NINRO Data: 26/05/2020
 Maggato al FOL: MATRICOLA: BAAS56229

Dispositivo Utilizzato

Alimento 2890 9 H11120226	
Alimento 710 s/n H12002062	X
Alimento 710 s/n H16050074	
Alimento 710 s/n H16050136	

RANGE: CoCo CoCo CoCo CoCo CoCo CoCo CoCo CoCo CoCo CoCo CoCo CoCo CoCo
 COMMENT:
 LIM MAX:
 LIM MIN:

TIME	Sonda 1	Sonda 2	Sonda 3	Sonda 4	Sonda 5	Sonda 6	Sonda 7	Sonda 8	Sonda 9	Sonda 10	Sonda 11	Sonda 12
10:28:04	81,9 °C	80,5 °C	81,5 °C	82,5 °C	82,7 °C	84 °C	82,8 °C	82,1 °C	81,9 °C	81 °C	81,6 °C	81,7 °C
10:28:09	82,4 °C	81,5 °C	82,4 °C	83,3 °C	83 °C	84,6 °C	83,5 °C	81,5 °C	82,2 °C	82,5 °C	81 °C	82,1 °C
10:28:14	83,6 °C	82 °C	82,4 °C	83,4 °C	83,2 °C	84,6 °C	83,7 °C	82,6 °C	82,8 °C	83 °C	84,8 °C	83,7 °C
10:28:19	84,3 °C	83 °C	83,6 °C	84,2 °C	83,9 °C	85 °C	84,9 °C	84,2 °C	84,1 °C	84,2 °C	85,2 °C	83,9 °C
10:28:24	84,3 °C	83 °C	83,6 °C	84,3 °C	83,9 °C	85 °C	84,7 °C	84,2 °C	84,1 °C	84,2 °C	85,2 °C	83,9 °C
10:28:29	84,5 °C	83,2 °C	84,2 °C	84,6 °C	84,5 °C	85,6 °C	85,8 °C	84,3 °C	84,4 °C	84,7 °C	86 °C	84,1 °C
10:28:34	85,4 °C	83,9 °C	84,6 °C	85,4 °C	85,1 °C	86,4 °C	85,5 °C	84,4 °C	84,5 °C	84,9 °C	86,3 °C	85,1 °C
10:28:39	86,1 °C	84,8 °C	85 °C	85,5 °C	85,5 °C	87,1 °C	86,7 °C	85,8 °C	85,4 °C	85,9 °C	86,4 °C	84,9 °C
10:28:44	86,2 °C	85,1 °C	86 °C	86,5 °C	86,3 °C	87,4 °C	86,9 °C	86,1 °C	86,1 °C	86,5 °C	87,1 °C	86,4 °C
10:28:49	86,8 °C	85,5 °C	86,3 °C	87,1 °C	87,1 °C	88,1 °C	87,5 °C	86,6 °C	86,7 °C	87 °C	87,7 °C	86,4 °C
10:28:54	86,8 °C	85,5 °C	86,3 °C	87,1 °C	87,1 °C	88,1 °C	87,5 °C	86,6 °C	86,7 °C	87 °C	87,7 °C	86,4 °C
10:28:59	86,9 °C	86 °C	86,3 °C	87 °C	87 °C	88,2 °C	87,6 °C	86,6 °C	86,8 °C	87,1 °C	88,1 °C	86,7 °C
10:29:04	87,3 °C	86,5 °C	87,1 °C	87,6 °C	87,6 °C	88,9 °C	88,4 °C	87,6 °C	87,7 °C	88 °C	88,6 °C	86,8 °C
10:29:09	87,8 °C	86,7 °C	87,4 °C	88,4 °C	88,5 °C	89,5 °C	89,1 °C	88,1 °C	87,9 °C	88 °C	88,8 °C	87,2 °C
10:29:14	88 °C	87,5 °C	87,6 °C	88,5 °C	88,5 °C	89,3 °C	88,6 °C	87,9 °C	88,1 °C	88,2 °C	89,1 °C	88,2 °C
10:29:19	88,9 °C	88 °C	88,5 °C	89 °C	89,2 °C	89,8 °C	89,2 °C	88,5 °C	88,4 °C	88,8 °C	89,6 °C	88,2 °C
10:29:24	88,9 °C	88 °C	88,5 °C	89 °C	89,2 °C	89,8 °C	89,2 °C	88,5 °C	88,6 °C	88,8 °C	89,6 °C	88,2 °C
10:29:29	88,9 °C	88,5 °C	88,9 °C	89,3 °C	89,1 °C	90 °C	89,4 °C	89,2 °C	89 °C	89,3 °C	89,9 °C	88,6 °C
10:29:34	89,2 °C	88,5 °C	89 °C	89,7 °C	89,4 °C	90,3 °C	89,9 °C	89,3 °C	89,2 °C	89,3 °C	90 °C	88,6 °C
10:29:39	89,5 °C	88,6 °C	88,9 °C	89,4 °C	89,4 °C	90,4 °C	90,3 °C	89,9 °C	89,9 °C	90 °C	90,3 °C	89 °C
10:29:44	89,8 °C	89,1 °C	89,2 °C	90 °C	89,7 °C	90,6 °C	90,2 °C	89,5 °C	89,7 °C	89,7 °C	90,3 °C	89,1 °C
10:29:48	90 °C	89,1 °C	89,5 °C	90,1 °C	90 °C	90,8 °C	90,3 °C	89,8 °C	89,9 °C	90 °C	90,6 °C	89,4 °C
10:55:10	83 °C	85,7 °C	85,6 °C	84,4 °C	84,9 °C	84 °C	85 °C	86,9 °C	87,2 °C	85,6 °C	83,7 °C	86 °C
10:55:15	85,3 °C	86,2 °C	86,3 °C	85,5 °C	86 °C	85,8 °C	86,4 °C	87,3 °C	87,2 °C	85,9 °C	83,4 °C	86,2 °C
10:55:20	85,9 °C	87,4 °C	89,4 °C	86,6 °C	86,7 °C	85,9 °C	86,7 °C	88,2 °C	88,9 °C	87 °C	84 °C	86,8 °C
10:55:25	86,8 °C	88,1 °C	87,9 °C	87,3 °C	87,4 °C	87 °C	88 °C	89,4 °C	89,2 °C	87,6 °C	84,9 °C	87,3 °C
10:55:30	86,8 °C	88,1 °C	87,9 °C	87,3 °C	87,4 °C	87 °C	88 °C	89,4 °C	89,2 °C	87,6 °C	84,9 °C	87,3 °C
10:55:35	87,1 °C	88,7 °C	88,4 °C	87,8 °C	88 °C	87,7 °C	88,5 °C	89,9 °C	89,4 °C	88,3 °C	86,3 °C	87,4 °C
10:55:40	88,3 °C	89,4 °C	89,4 °C	88,9 °C	89,3 °C	89,2 °C	89,2 °C	90,2 °C	90,6 °C	89 °C	87,5 °C	88,2 °C
10:55:45	88,9 °C	89,6 °C	89,8 °C	89,2 °C	89,4 °C	89,9 °C	89,9 °C	91,2 °C	91,3 °C	89,8 °C	89,2 °C	89,6 °C
10:55:50	89,8 °C	90,6 °C	90,8 °C	90,3 °C	90,1 °C	90,5 °C	90,3 °C	91,3 °C	91,7 °C	90,3 °C	89,3 °C	88,6 °C
10:55:55	90,3 °C	91,2 °C	91,3 °C	90,8 °C	90,8 °C	91 °C	91,2 °C	92,4 °C	92,5 °C	91,1 °C	90,5 °C	90,7 °C
10:56:00	90,3 °C	91,2 °C	91,3 °C	90,8 °C	90,8 °C	91 °C	91,2 °C	92,4 °C	92,5 °C	91,1 °C	90,5 °C	90,7 °C
10:56:05	90,5 °C	91,6 °C	91,7 °C	91,3 °C	91,3 °C	91,5 °C	91,8 °C	92,3 °C	92,4 °C	91,6 °C	90,7 °C	91,1 °C
10:56:10	91,4 °C	92,4 °C	92,3 °C	92 °C	91,9 °C	92,2 °C	92,5 °C	93,7 °C	93,5 °C	92,1 °C	91,6 °C	91,7 °C
10:56:15	92 °C	93 °C	93 °C	92,7 °C	92,6 °C	93 °C	93,2 °C	94 °C	94,3 °C	92,8 °C	93,1 °C	92,4 °C
10:56:20	92,8 °C	93,6 °C	93,6 °C	93 °C	93 °C	93,9 °C	93,5 °C	94,6 °C	94,3 °C	93,8 °C	92,8 °C	92,4 °C
10:56:25	92,6 °C	93,6 °C	93,6 °C	93 °C	93 °C	93,9 °C	93,5 °C	94,6 °C	94,3 °C	93,8 °C	92,8 °C	92,4 °C



dimensioni del rischio

complessità dei fattori determinanti

trend epidemiologico



arjo

EMPOWERING MOVEMENT